

УДК 621.921.34:621.921.34–413:621.923.4:662.23.05

Е. Е. Ашкинази, канд. техн. наук^{1,3}; А. А. Шульженко, член-корр. НАН Украины²; А. Н. Соколов²,
В. Г. Гаргин, А. С. Осипов, кандидаты технических наук²; А. А. Хомич, инженер^{1,3},
В. Г. Ральченко, канд. физ.-мат. Наук^{1,3}; В. И. Конов, член-корр. РАН^{1,3},
Н. А. Русинова², Н. Е. Ашкинази, инженеры¹

¹Институт общей физики им. А. М. Прохорова РАН, г. Москва

²Институт сверхтвердых материалов им. В. Н. Бакуля НАНУ, г. Киев

³Национальный исследовательский ядерный университет МИФИ, Москва

ГИБРИДНЫЕ АЛМАЗНО-ТВЕРДОСПЛАВНЫЕ ПЛАСТИНЫ (АТП). ИССЛЕДОВАНИЕ НАПРЯЖЕННО-ДЕФОРМИРОВАННОГО СОСТОЯНИЯ КАРКАСА МАТРИЦЫ И CVD АЛМАЗНОЙ КОМПОНЕНТЫ МЕТОДОМ РАМАНОВСКОЙ СПЕКТРОСКОПИИ

Методом рамановской спектроскопии изучены особенности напряженно-деформированного состояния в гибридных алмазно-твердосплавных пластинах, армированных CVD алмазом, и спеченного поликристаллического алмазного слоя окружающего его.

Проведен анализ спектров комбинационного рассеяния, с помощью которого выявлены особенности изменения фазового состава, а также напряженно-деформированного состояния материала в различных точках CVD алмаза и каркаса алмазной оболочки, сформированной в условиях высоких давлений и температур.

Ключевые слова: CVD алмаз, алмазно-твердосплавная пластина, напряженно-деформированное состояние, рамановская спектроскопия.

Для оснащения долот для бурения скважин на нефть и газ, шпурлов в угольной промышленности, а также коронок геологоразведочного бурения широко применяют алмазно-твердосплавные пластины (АТП).

Алмазно-твердосплавная пластина представляет собой неразъемное соединение алмазного поликристаллического слоя с твердым сплавом, полученное спеканием алмазных зерен синтетических или природных микропорошков на WC-кобальтовой подложке в аппарате высокого давления (АВД) при высоких температуре 1800–2000 °C и давлении 7,7 ГПа [1].

Отличительная особенность работы АТП в инструменте по сравнению с другими поликристаллическими материалами состоит в том, что несмотря на износ алмазного слоя его кромка остается острой за счет опережающего износа твердосплавной подложки (пластины) резцов АТП. В целях повышения эффективности работы пластин в инструменте важной научно-технологической задачей является поиск путей снижения износа режущей кромки АТП.

В институте сверхтвердых материалов им. В. Н. Бакуля НАН Украины совместно с Институтом общей физики им. А. М. Прохорова РАН активно развивается новое направление создания сверхтвердых материалов – поликристаллических сверхтвердых композиционных материалов с гибридной алмазной основой [2–4].

Примером конкретной реализации этого направления является разработка конструкции гибридной АТП (рис. 1), в которой благодаря выбору компонентов алмазного слоя с различной

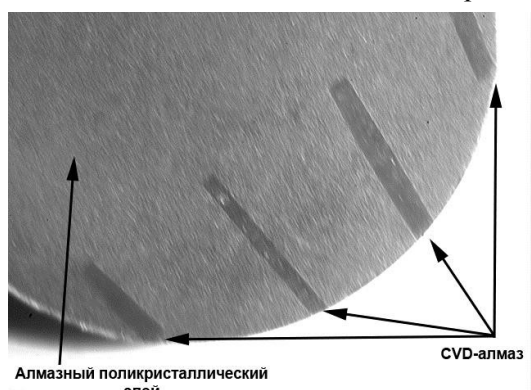


Рис. 1. Гибридная алмазно-твёрдосплавная пластина [3]

твердостью и трещиностойкостью и их расположения в поликристаллическом слое обеспечивается повышение ее износстойкости и скорости бурения [3–6].

Как известно, гибрид – это материал, содержащий два или более объектов, сочетание физико-механических свойств которых обеспечивает ожидаемые технические возможности, недоступные для каждого из элементов в отдельности [7]. Гибридная алмазная оставляющая АТП представляет собой поликристаллический алмазный слой, содержащий пластинки поликристаллического CVD-алмаза (рис. 1). Таким образом реализуется сочетание уникальных физико-механических и теплофизических характеристик CVD-алмаза с высокой твердостью, прочностью и термостойкостью поликристаллической оболочки из алмазов статического синтеза.

Экспериментально показано, что при формировании гибридного материала (гибридайта [8]) влиянием на CVD-алмаз высокого давления и температуры в результате пластической деформации в нем реализуется сложно-напряженное деформированное состояние, что приводит к существенному повышению его твердости [9].

Также было установлено [10], что интенсивность изнашивания CVD-алмаза в гибридайте зависит как от его кристаллической структуры, так и того, какая сторона (зародышевая, ростовая или боковая) является рабочей.

Цель настоящей работы – оценить напряженно-деформированное состояние CVD алмаза и поликристаллического алмазного слоя вокруг него в гибридных алмазно-твердосплавных пластинах с использованием рамановской спектроскопии.

Материалы и методика исследования

Объектом исследования служила гибридная алмазно-твердосплавная пластина и ее составляющие (CVD-алмаз и поликристаллический алмазный слой).

Поликристаллический алмазный слой формировался в результате спекания при высоком давлении и температуре алмазного микропорошка марки ACM 60/40.

Для армирования поликристаллического алмазного слоя АТП применяли пластины размером $0,3 \times 0,5 \times 4,0$ мм из так называемого «черного алмаза» (black diamond), изготовленного по технологии

ИОФ РАН, – поликристаллического CVD-алмаза быстрого роста, с высоким содержанием структурных дефектов (микродвойники, дислокации, нанометровые аморфизованные домены), вызывающих в нем сильное оптическое поглощение.

В спеченном алмазном слое пластины CVD-алмаза были ориентированы двумя способами (рис. 2): боковой стороной (шириной 0,3 мм), образованной в результате алмазной резки; и мелкозернистой зародышевой стороной (шириной 0,5 мм).

Спекание гибридных АТП осуществляли в АВД типа «тороид» при давлении 7,7 ГПа и температуре ~ 1800 °С.

Спектры Рамановского рассеяния были получены в лаборатории алмазных материалов

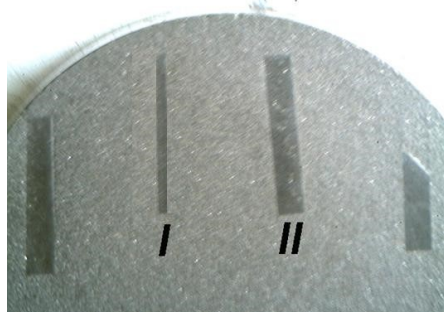


Рис. 2. Гибридная алмазно-твердосплавная пластина с различной ориентацией CVD-алмаза в поликристаллическом алмазном слое: I – боковая сторона, образованная в результате алмазной резки; II – мелкозернистая зародышевая сторона

ОСПЯ ЦЕНИ ИОФ им. А. М. Прохорова РАН с помощью Рамановского спектрометра LabRAM HR 800 фирмы Horiba.

При измерении Рамановских спектров использовали решетку 1800 штр./мм (середина диапазона сканирования находилась в 1450 cm^{-1}), короткофокусный объектив $\times 100$, фильтр D2 (с ослаблением возбуждающего сигнала в 100 раз). Щель на входе спектрометра составляла 100 мкм. Накопление сигнала в течение 60 сек было повторено 5 раз.

Для возбуждения спектров использовали Ar⁺ лазер с основной длиной волны 488 нм. Мощность возбуждающего излучения на выходе лазера составляла 200 мВт. Лазерный луч фокусировали в область размером 1×1 мкм.

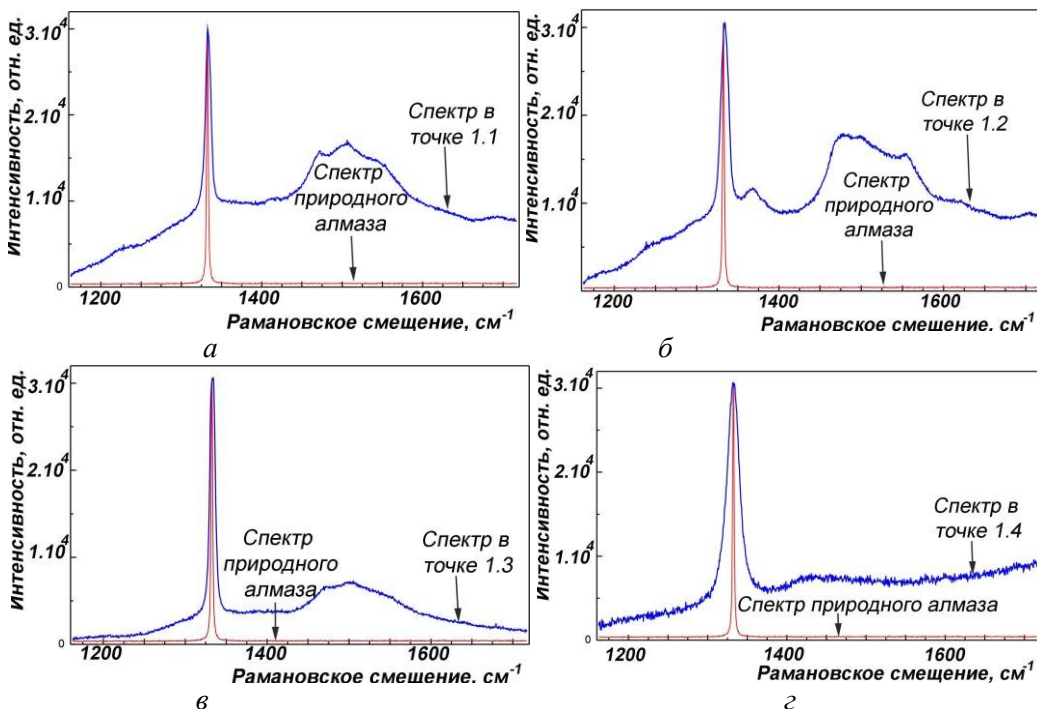
Измерения проводили в различных точках пластин CVD алмаза и поликристаллического алмазного слоя, как схематически показано на рис. 3.

Как следует из приведенной схемы, точки 1.1, 1.2, 1.3, 2.2, 2.3 и 2.4 находились непосредственно на CVD пластинах в порядке удаления от края образца. Остальные точки находились на алмазных зернах поликристаллического слоя АТП.

Рис. 3. Схема расположения точек, в которых были получены спектры КРС

Результаты исследований и их обсуждение

Спектры КРС, полученные в соответствии с рис. 3, в заданных точках гибридной АТП при CVD алмазной компоненте развернутой боковой и ростовой гранями в средней части и на ее концах, а также на АТП показаны на рис. 4 и 5. Для сравнения на спектрах приведен спектр КРС природного алмаза.



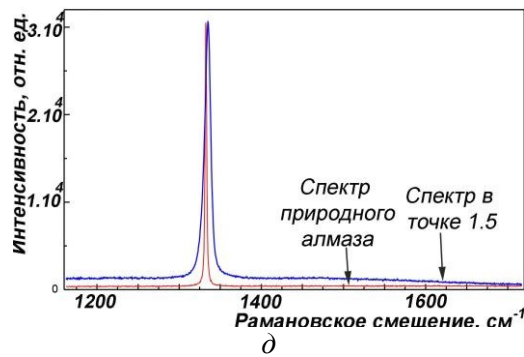


Рис. 4. Спектры КРС, полученные в соответствии с рис. 3 в заданных точках гибридной АТП при CVD алмазной компоненте развернутой боковой гранью, а); б) и в) - точки измерения КРС выполненные в середине и на концах CVD алмазной компоненты; г) и д) - точки измерения КРС выполненные по концам CVD алмазной компоненты на АТП

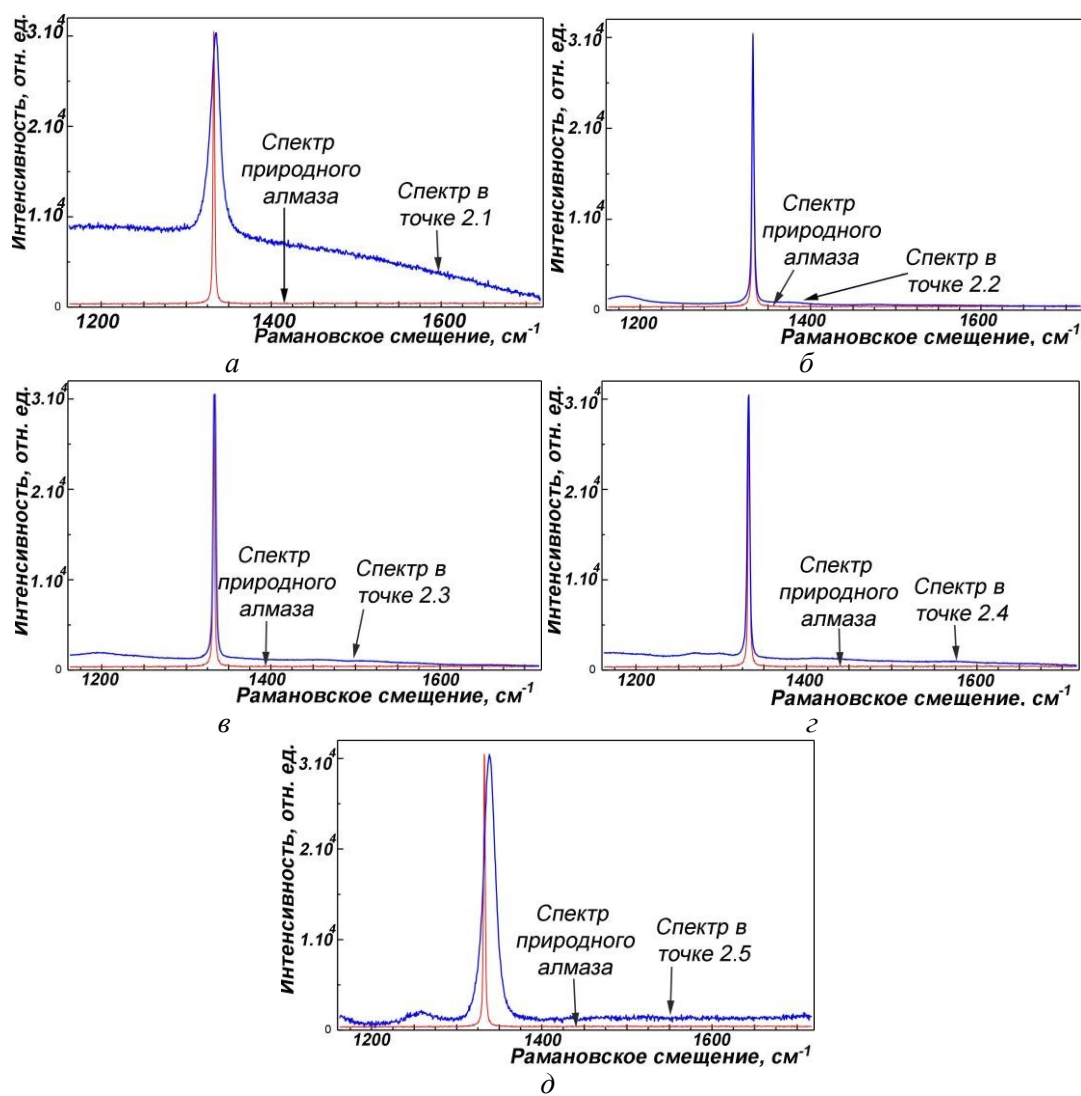


Рис. 5. Спектры КРС, полученные в соответствии с рис. 3 в заданных точках гибридной АТП при CVD алмазной компоненте расположенной ростовой гранью вверх, б); б) и г) - точки измерения КРС выполненные в середине и на концах CVD алмазной компоненты; а) и д) - точки измерения КРС выполненные по концам CVD алмазной компоненты на АТП

Измеренные параметры алмазных линий в разных точках гибридной АТП при различной ориентации CVD алмазной компоненты приведены в таблице.

Параметры алмазных линий в различных точках гибридной АТП

| Точки измерений (в соответствии с рис. 3) | Ширина, см ⁻¹ | Центр, см ⁻¹ | Сдвиг*, см ⁻¹ | Наличие sp ² -фазы |
|---|--------------------------|-------------------------|--------------------------|-------------------------------|
| 1.1 | 8,2 | 1333,4 | +0,9 | + |
| 1.2 | 13,3 | 1334,2 | +1,7 | + |
| 1.3 | 7,5 | 1333,3 | +0,8 | + |
| 1.4 | 18,3 | 1332,5 | 0 | - |
| 1.5 | 8,4 | 1334,7 | +2,2 | - |
| 2.1 | 13,7 | 1334,2 | +1,7 | - |
| 2.2 | 2,6 | 1332,4 | -0,1 | - |
| 2.3 | 3,6 | 1333,4 | +0,9 | - |
| 2.4 | 3,2 | 1332,0 | -0,5 | - |
| 2.5 | 15,9 | 1338,5 | +6,0 | - |
| Природный алмаз | 2,0 | 1332,5 | | |

* сдвиг относительно положения линии природного алмаза

Результаты анализа приведенных спектров КРС показывают, что во всех точках, находящихся на CVD алмазных пластинах, ширина алмазной линии меньше, чем в окружающем их поликристаллическом алмазном слое. При этом структурные состояния ориентированных различным образом пластин CVD алмаза в поликристаллическом алмазном слое гибридной АТП существенно отличаются.

Так, при ориентации пластины боковой стороной ширина алмазной линии составляет 7,5–13,3 см⁻¹, что обусловлено в основном расщеплением линии в результате влияния упругих деформаций сжатия, на что указывает как форма линий, так и их сдвиг в сторону больших энергий – от 0,8 и 0,9 см⁻¹ по краям пластины до 1,7 см⁻¹ в центре. Кроме того, в спектрах точек 1.1–1.3 наличие G-линий вблизи 1585 см⁻¹, соответствующей колебательной энергии С–С связи, свидетельствует о наличии кристаллической фазы углерода. Эта линия характерна для графита, графена и нанотрубок [11]. Размытость и некоторая асимметрия G-линии может указывать, что она является суперпозицией двух линий ~1585 см⁻¹, соответствующей графиту, и ~1620 см⁻¹, характерной для рассеяния малоразмерными фрагментами графеновых плоскостей [12].

Кроме того, присутствие в точке 1.2 D-линии вблизи 1350 см⁻¹ свидетельствует о наличии аморфной фазы углерода или дефектов кристаллической структуры.

Различие форм спектров свидетельствует о неоднородном распределении дефектов и примесей не алмазной фазы по боковой поверхности пластины.

Алмазные линии в точках 1.4 и 1.5 поликристаллического алмазного слоя очень широкие и существенно отличаются по сдвигу относительно природного алмаза. Это свидетельствует не только о малом размере алмазных зерен, но и наличии разнонаправленных напряжений в поликристаллическом слое.

Ширина алмазной линии спектров КРС от ростовой стороны пластины CVD алмаза составляет 2,6–3,6 см⁻¹. Это свидетельствует о высоком качестве пластины в этом направлении и незначительных значениях упругих напряжений в этой части образца, что подтверждается данными о положении линий. По краям пластины, в точках 2.2 и 2.4 наблюдается незначительное растяжение материала, а в центре (точках 2.3) – сжатие. При этом D-и G-линии не наблюдается, значит отсутствует sp²-фаза и низкий уровень дефектов. Следовательно, наиболее вероятно расположение

неалмазных фаз и дефектов по ростовым межкристаллитным границам, что и проявляется на спектрах КРС от боковой стороны пластины CVD алмаза.

В поликристаллическом слое вокруг пластины, ориентированной ростовой стороной (точки 2.1, 2.5, 2.6, 2.7 и 2.8), алмазная линия сильно уширена (до $15,9 \text{ см}^{-1}$) и проявляется различное напряжение сжатия, приводящие к сдвигу линии до 6 см^{-1} .

В результате ранее проведенных исследований было установлено, что твердость по длине пластины изменяется незначительно и составляет при ориентации боковой стороной 88–92 ГПа, при ориентации зародышевой стороной – 105–112 ГПа [3]. Исходная твердость пластины CVD-алмаза, измеренная на зародышевой стороне (до спекания) составила 77 ГПа, следовательно, твердость CVD-алмаза после спекания в алмазном слое в условиях НРНТ повысилась на 32–45%. Твердость алмазного поликристаллического слоя в различных областях АТП составила 51–60 ГПа, трещиностойкость – $9\text{--}10 \text{ МПа}\cdot\text{м}^{1/2}$. Трещиностойкость CVD-алмаза установить не удалось, так как при нагрузке на индентор 50 Н пластина разрушалась.

Таким образом, как следует из приведенных выше экспериментальных данных, работоспособность пластин CVD алмаза в алмазном поликристаллическом слое гибридной АТП зависит не только от геометрических размеров пластины, но в большей мере от ее структуры и ориентации в алмазном поликристаллическом слое.

Выводы

Проведен анализ спектров комбинационного рассеяния света в различных точках поликристаллической алмазной оболочки гибридного АТП и армирующей CVD алмазной компоненты, ориентированной ростовой и боковой сторонами (после лазерной резки). Выявлен контраст фазового состава и напряженно - деформированного состояния, вызванных упругими деформациями в результате воздействия высоких давлений и температур.

Контраст по ширине спектров КРС, полученных от боковой стороны составляет $7,5\text{--}13,3 \text{ см}^{-1}$. Наблюдается расщепление формы и величины алмазных линий в результате упругих деформаций сжатия и сдвига в сторону больших энергий от $0,8$ и $0,9 \text{ см}^{-1}$ по краям пластины до $1,7 \text{ см}^{-1}$ в центре.

В спектрах КРС CVD алмазной компоненты (в т. 1.1–1.3) на периферии АТП присутствует сигнал от неупорядоченной sp^2 -фазы, которая не наблюдается в остальных точках. Наличие G -линии вблизи 1585 см^{-1} , свидетельствует о наличии кристаллической фазы углерода, характерной для графита, графена, нанотрубок, а D -линия вблизи 1350 см^{-1} свидетельствует о присутствии аморфной фазы углерода или дефектов кристаллической структуры. Причем интегральная интенсивность D -линии относительно G -линии увеличивается с возрастанием разупорядочения и с уменьшением кристаллитов.

Алмазная линия в точках 1.4–1.7 имеет значительную ширину и сдвинута в обе стороны относительно природного алмаза, что свидетельствует о малом размере алмазных зёрен, и о разнонаправленных напряжениях в CVD алмазе при удалении от края АТП.

Ширина алмазной линии спектра КРС от зародышевой стороны находится в пределах $2,6\text{--}3,6 \text{ см}^{-1}$, что указывает на достаточно высокое качество CVD алмаза в этом направлении и незначительные упругие напряжения в этой части образца. По краям пластины, в точках 2.2 и 2.4 наблюдается незначительное растяжение материала, а в центре, в точках 2.3 – сжатие.

Контраст по ширине спектров КРС, от поликристаллической оболочки, вблизи CVD алмазной компоненты (точки 2.1 и 2.5) составляет от $13,7$ до $15,9 \text{ см}^{-1}$, при этом сдвиг линии – $1,7$ и $6,0 \text{ см}^{-1}$ указывает на наличие напряжений сжатия различной силы, и образовании участков с повышенной твердостью. Не значительное напряжение растяжения наблюдается только в точке 2.8, что может говорить о возможных колебаниях давления в реакционном объеме при спекании АТП.

Методом раманівської спектроскопії вивчено особливості напружено-деформованого стану в гібридних алмазно-твердосплавних пластинах, армованих CVD алмазом і спеченого полікристалічного алмазного шару навколо його.

Проведено аналіз спектрів комбінаційного розсіювання, за допомогою якого виявлено особливості зміни фазового складу, а також напружено-деформованого стану матеріалу в різних точках CVD алмазу і каркаса алмазної оболонки, сформованої в умовах високих тисків і температур.

Ключові слова: CVD алмаз, алмазно-твердосплавна пластина, напружено-деформований стан, раманівська спектроскопія.

Peculiarities of stress-strain state in the hybrid diamond-carbide plates, reinforced CVD diamond and sintered polycrystalline diamond layer surrounding it were investigated by Raman spectroscopy method

The analysis of the Raman spectra with which the peculiarities of change of phase composition, as well as the stress-strain state of the material at different points in CVD diamond and diamond frame shell, formed under high pressures and temperatures was made.

Key words: CVD diamond, diamond-carbide inserts, the stress-strain state, Raman spectroscopy.

Література

1. Шульженко А. А., Гаргин В. Г., Шишкін В. А., Бочечка А. А. Полікристаллическі матеріали на основі алмаза. – К.: Наук. думка, 1989. – 192 с.
2. Соколов А. Н., Шульженко А. А., Гаргин В. Г. Полікристаллическі сверхтверді композиціонні матеріали з гібридною алмазною основою різного функціонального назначення // Структурна релаксація у твердих тілах. Збірник наукових праць (відп. ред. О. В. Мозговий). – Вінниця: ФОП «Костюк Н. П.», 2015. – С. 85–87.
3. Гибридная алмазно-твердосплавная пластина / А. А. Шульженко, А. Н. Соколов, Л. И. Александрова и др. // Породоразрушающий и металлообрабатывающий инструмент – техника, технология его изготовления и применения. Вып. 17. – К.: ИСМ им. В.Н. Бакуля НАН Украины, 2014. – С. 232–240.
4. Structure and properties of impact diamonds from the Popigai Deposit and polycrystals based on them / A. A. Shulzhenko, E. E. Ashkinazi, A. N. Sokolov et. al. // Journal of Superhard Materials. – 2014. – **36**. – N. 3. – P. 156–164.
5. Патент № 107698 Україна МПК B22F 7/04 (2006.01), B22F 3/15 (2006.01), B24D 3/04 (2006.01), B32B 5/16 (2006.01), C23C 24/00. Алмазно-твердосплавна пластина / М. В. Новіков, О. О. Шульженко, В. Г. Гаргін та ін. – Опубл. 10.02.15, Бюл. № 3.
6. Патент № 2542241 Россия МПК B24D 3/00 (2006.01), B22F 7/02 (2006.01), B32B 5/16 (2006.01). Алмазно-твердосплавная пластина / Е. Е. Ашкинази, В. Г. Ральченко, В. И. Конов и др. – Опубл. 10.02.15, Бюл. № 15.
7. Hybrid [Электронный ресурс] – Режим доступу: <http://de.wikipedia.org/wiki/Hybrid>.
8. Свідоцтво України на знак для товарів і послуг № 158183. – Гібридайт. – Опубл. 10.07.12, Бюл. № 13.
9. Структура и физико-механические свойства CVD-алмаза различного кристаллического совершенства в материале гибридайт / А. Н. Соколов, А. А. Шульженко, В. Г. Гаргини др. // Сверхтвердые материалы. – 2013. – № 2. – С. 29–40.
10. Исследование работоспособности нового гибридного алмазного композиционного поликристаллического материала при разрушении крепких горных пород / А. А. Шульженко, А. П. Закора, Р. К. Богданов и др. // Наукові праці Донецького технічного університету. Серія «Гірничо-геологічна». – 2011. – № 13. – С. 117–121.
11. Прудников А. М., Линник А. И., Шалаев Р. В. и др. Особенности формирования наноструктурных пленок нитрида углерода // Наносистемы: Физика химия, математика. – 2012. – № 3. – С. 134–145.
12. H. Wilhelm, Lelaurain M., McRae E., Humbert B. Raman spectroscopic studies on well-defined carbonaceous materials of strong two-dimensional character // J. Appl. Phys. – 1998. – **84**. – N 12. – P. 6552; <http://dx.doi.org/10.1063/1.369027>.

Поступила 13.07.15